

## 탄소 클러스터들에 관한 시뮬레이션( I ) —C<sub>2</sub>—C<sub>5</sub>의 구조와 에너지—

이 종 무

인하대학교 금속공학과

Simulation of Small Carbon Clusters( I )  
—Geometries and Energies of C<sub>2</sub>—C<sub>5</sub>—

Chong-Mu Lee

Department of Metallurgical Engineering, Inha University, Korea

요약 반경험적 포텐셜 에너지함수를 이용한 statics 시뮬레이션에 의하여 C<sub>2</sub>—C<sub>5</sub> 클러스터들의 구조와 에너지들을 구하였다. 계산결과들에 의하면, C<sub>2</sub>—C<sub>5</sub>의 가장 안정된 구조는 모두 직선형이었다. 또한 사방형(rhombic) C<sub>4</sub> 뿐만아니라, Y字형태의 C<sub>4</sub>도 직선형 C<sub>4</sub>와 매우 비슷한 에너지값을 가짐을 발견하였다.

**Abstract** The geometries and energies of C<sub>2</sub>—C<sub>5</sub> clusters have been calculated using simple semiempirical potential energy functions. The results of the calculations show that the most stable structure of the C<sub>2</sub>—C<sub>5</sub> clusters is linear and that not only the rhombic C<sub>4</sub> but also the Y-shaped C<sub>4</sub> have similar energy to the linear C<sub>4</sub>.

### 1. 서 론

최근 컴퓨터의 발달과 더불어 수개의 원자들로 구성된 클러스터(small atom cluster)에 관한 이론적인 연구<sup>1)</sup>가 활발히 이루어지고 있다. 이런 추세와 더불어 탄소 클러스터들도 최근 많은 연구자들<sup>2)</sup>의 관심의 대상이 되고 있는데, 작은 탄소 클러스터들은 탄소로 이루어진 천체(star)의 대기(atmosphere)<sup>3, 4)</sup>, 유성의 꼬리<sup>5)</sup>, 혹연증기<sup>6-8)</sup> 및 화염(flame)<sup>9)</sup>등에 많이 존재하는 것으로 알려져 있다. 이들 탄소 클러스터들 중에서 C<sub>2</sub>와 C<sub>3</sub>는 실험에 의하여 잘 연구되어 있지만, C<sub>4</sub>, C<sub>5</sub> 및 C<sub>6</sub>와 같은 탄소원자들의 구조(configuration)와 에너지값에 관해서는 아직 많은 논란이 있다. 예를 들어 C<sub>4</sub>가 직선적인 원자배열을 갖는지 사방형(rhombic)의 원자배열을 갖는지 아직 확실히 밝혀지지 않고 있다. 지금까지 작은 탄소 클러스터들에 대한 연구들은 대부분 ab initio calculation(계산)에 의하여 수행되어 왔

다. 일반적으로 ab initio 계산은 반경험식을 기초로한 계산 보다 더 정확하지만, 계산시간이 엄청나게 더 많이 소요되기 때문에 매우 비효율적인 계산방법이다. 한편 반경험적 포텐셜을 기초로한 컴퓨터 시뮬레이션은 작은 클러스터나 벌크(bulk)의 구조 및 에너지를 연구하는 데에 대단히 편리한 도구이다. 그러나 이 테크닉은 불행히도 작은 탄소 클러스터들의 연구에는 지금까지 거의 활용되지 못했는데, 그것은 탄소계에 적합한 포텐셜에너지함수(PEF : potential energy function)가 개발되지 못했었기 때문이다. 최근 Tersoff<sup>10)</sup>는 탄소계에 적합한 새로운 PEF를 발표한 바 있다(본 논문에서는 이것을 “T포텐셜”이라 부르기로 함).

본 논문에서는 T포텐셜과 본 논문의 저자들이 개발한 새로운 탄소계를 위한 포텐셜(“H포텐셜”이라 부르기로 함)<sup>11)</sup>을 사용하여 C<sub>2</sub>—C<sub>4</sub>의 작은 탄소 클러스터들에 관하여 시뮬레이션한 결과를 보고하고자 한다. 본 논문의

목적은 지금까지 ab initio 테크닉에 의하여 계산된 구조들의 에너지 값과 평형 원자간 거리 및 결합각들을<sup>12-18)</sup> 반 경험적 포텐셜을 이용한 컴퓨터 시뮬레이션에 의하여 재현하거나 구함으로써, H포텐셜을 사용하여 보다 더 복잡한 탄소체를 간단히 시뮬레이션할 수 있음을 입증하고, 지금까지 보고되지 않은 작은 탄소클러스터 들의 평형구조와 에너지 특성을 밝히고자 함에 있다.

## 2. 컴퓨터 시뮬레이션

본 연구와 관련하여 새로 개발한 H포텐셜은

$$E = \frac{1}{2!} \sum_i^n \sum_j^n U_{ij} + \frac{1}{3!} \sum_i^n \sum_j^n \sum_k^n V_{ijk} \quad (1a)$$

$$U_{ij} = A \exp(-\alpha r_{ij}) - B \exp(-\beta r_{ij}) \quad (1b)$$

$$V_{ijk} = Z \{ f(r_{ik}, r_{ij})g(\theta_i) + f(r_{jk}, r_{ij})g(\theta_j) + f(r_{ik}, r_{jk})g(\theta_k) \} \quad (1c)$$

$$f(r_{ij}, r_{ik}) = \exp\{-q(r_{ij} - r_0)^2 - q(r_{ik} - r_0)^2\} \quad (1d)$$

$$g(\theta_i) = h + \cos(S(\theta_i - p)) \quad (1e)$$

여기서  $r_{ik}$ ,  $r_{ik}$ ,  $r_{ij}$  및  $\theta_i$ ,  $\theta_j$ ,  $\theta_k$ 는 각각 원자 i, j 및 k에 의하여 형성되는 삼각형의 세변과 세각을 나타낸다. 이 PEF에서 2체 포텐셜 매개 변수인 A,  $\alpha$ , B 및  $\beta$ 는 실험적으로 얻어진  $C_2$ 의 포텐셜 well에 맞추어(fitting) 결정하였다<sup>19)</sup>. 한편, 3체 포텐셜 매개변수인 Z, g,  $r_0$ , h, S 및 p는 직선형의  $C_3$ , 삼각형의  $C_3$ , rhombic  $C_4$  및 직선형  $C_4$ 의 결합길이, 결합각 및 결합에너지지를 실험과<sup>6, 19, 20)</sup> ab initio 계산<sup>1)</sup>으로부터 얻어진 값들에 맞춤으로써 결정하였다. 3체 매개변수들을 결정하기 위한 계산 절차는 다음과 같다:

1) 3체 매개변수들에 대체로 예상되는 초기값을 부여한다.

2) 결합에너지 차들을 합하고 안정조건 ( $\partial E / \partial R = 0$ )을 고려하여 목적함수(objective function) Q를 설정한다.

$$\begin{aligned} Q = & W_1(E_1^{\text{ex}} - E_1)^2 + W_2\left(\frac{\partial E_1}{\partial R}\right)_{R=R_1}^2 \\ & + W_3(E_2^{\text{ex}} - E_2)^2 + W_4\left(\frac{\partial E_2}{\partial R}\right)_{R=R_2}^2 \\ & + W_5(E_3^{\text{ex}} - E_3)^2 + W_6\left(\frac{\partial E_3}{\partial R}\right)_{R=R_3}^2 + W_7\left(\frac{\partial E_4}{\partial R}\right)_{R=R_4}^2 \end{aligned}$$

$$+ W_8(E_4^{\text{ex}} - E_4)^2 + W_9\left(\frac{\partial E_4}{\partial R}\right)_{R=R_5}^2 + W_{10}\left(\frac{\partial E_4}{\partial R}\right)_{\theta=\theta_1}^2 \quad (2)$$

여기서  $W_1 \sim W_{10}$ 은 무게 인자들 (weight factor)이다.  $E_1^{\text{ex}} \sim E_4^{\text{ex}}$ 는 각각 직선형  $C_3$ , 삼각형  $C_3$ , 직선형  $C_4$  및 사방형(rhombic)  $C_4$ 에 대해서 외부로 부터 공급되는 결합에너지 값이다. 또한  $E_1 \sim E_4$ 는 본 계산과정에서 내적으로 결정되는 이 클러스터들에 대한 결합에너지 값들이다.  $R_1$ 과  $R_2$ 는 각각 직선형  $C_3$ 과 삼각형  $C_3$ 의 결합길이들을,  $R_3$ 과  $R_4$ 는 직선형  $C_4$ 의 결합길이들을, 그리고  $R_5$ 은 사방형  $C_4$ 의 결합길이를 나타낸다. 이들 중  $E_1^{\text{ex}}$ 와  $E_4^{\text{ex}}$  값은 실험 데이터로 부터 얻어진 것을,  $R_1$ ,  $R_2$  및  $R_5$ 는 ab initio 계산 결과로부터 얻어진 것을 사용하였다. 한편,  $E_2^{\text{ex}}$ 와  $E_3^{\text{ex}}$  그리고  $R_3$ 과  $R_4$ 는 다음 제한하에 결정한 값을 사용하였다.

i)  $R_2$ 는  $R_1$  보다 더 작을 수 없다.

ii)  $R_3$ 과  $R_4$ 는  $R_5$  보다 더 클 수 없다.

iii)  $E_3$ 은  $E_4$  보다 더 작아서는 안 된다.

상기 i)항과 ii)항의 제한 근거는 다음과 같다: 지금까지 보고된 ab initio 계산 결과들에 의하면, 3원자로 구성된 클러스터들의 경우, 항상 직선형 구조에서의 결합길이가 삼각형 구조에서의 그것보다 더 짧았으며, 4원자로 구성된 클러스터들의 경우, 직선형 구조에서의 인접원자간 결합길이가 다른 구조에서의 그것보다 더 작았기 때문에 일반적으로 클러스터들의 구조중 원자결합길이가 가장 작은 구조가 직선 구조인 것으로 알려져 있다. 또한 iii)항의 제한 근거는 최근 ab initio 계산 결과에 의하면, 직선형  $C_4$ 의 결합에너지 값이 사방형  $C_4$ 의 그것보다 더 크기때문이며, 본 시뮬레이션에서도 동일한 결과가 나오도록 유도하기 위해서이다.

3) 3체 매개변수들은 최소화 루틴(minimization roution)을 사용하여 Q를 최소화함으로써 구해진다. 최소화 루틴의 각 loop에서는 새로운 매개변수 set가 시도된다. 그러나 결합길이들이 입력 데이터로 고정되어 있기 때문에 이렇게 결정되는 매개변수들로부터는 PEF의 최소에너지 상태에 대응하는 결합길이 값을 얻을 수 없다.

4) 따라서 PEF의 최소에너지에 대응하는

만족스런 매개변수 set를 구하기 위하여 다양한 DO loop을 사용하여 3체 매개변수를 변화시켰다. 이 과정에서 우리는 에너지-매개변수 공간내의 에너지 극소점에 대응하는 수 많은 set의 매개변수들을 만나게 된다. 본 연구에서는 직선형  $C_3$ , 삼각형  $C_3$ , 직선형  $C_4$  및 사방형  $C_4$ 의 4 클러스터에 대해서 최소 결합에너지 값을 제공할 수 있는 한 set의 매개변수를 결정하였으며, 이렇게 결정된 H포텐셜의 매개변수들은 표1에 보인 바와 같다.

Table 1. Parameters of H Potential

$$\begin{aligned} A &= 1.680776 \text{ E3} \\ \alpha &= 3.996731 \text{ E0} \\ B &= -3.416321 \text{ E2} \\ \beta &= 2.383121 \text{ E0} \\ Z &= 6.93 \text{ E0} \\ q &= 5.41077 \text{ E-1} \\ r_0 &= 5.26144 \text{ E-2} \\ h &= 1.04 \text{ E0} \\ S &= 1.221 \text{ E0} \\ p &= 0.50 \text{ E0} \end{aligned}$$

이상과 같은 방법으로 결정된 표1의 매개변수들을 가진 H포텐셜을 사용하여 클러스터들의 형태와 에너지를 구하였으며, 그 자세한 과정은 다음과 같다. 먼저 초기 형태를 임의로 정한다. 그 다음 주어진 경계 조건하에 에너지 최소화 루틴을 작동시킨다(시뮬레이션 run을 돌린다.). 이 에너지 최소화 루틴은 statics 시뮬레이션 테크닉을 기초로하여 만들어진 것으로 이 최소화 과정에서 PEF를 사용하여 클러스터의 수많은 양상들(ensemble)에 대한 결합에너지 값들이 계산되고, 그 양상들 중에서 최소에너지의 형태가 결정된다.

### 3. 결과 및 검토

표2는 H포텐셜과 T포텐셜을 사용하여 계산한 흑연과 다이아몬드의 에너지값들이다. 포텐셜 매개변수들을 결정하는 방법의 차이로부터 예상할 수 있듯이 T포텐셜이 H포텐셜보다 흑연이나 다이아몬드와 같은 bulk탄소계의 성질을 더 잘 재현하고 있다. Tersoff가 제안한 T포텐셜의 매개변수들은 탄소 polytype들의 에너지 값들, 격자상수 및 탄소의 채팽창

계수등과 같은 탄소의 bulk성질에 맞춤으로써 결정된 것이다. 한편, 본 연구에서 새로이 개발한 H포텐셜의 매개변수들은 앞에서 기술한 바와 같이 작은 탄소 클러스터들의 에너지와 구조에 맞춤으로써 결정되었다.

Table 2. The energies of bulk graphite and diamond calculated using "H" and "T" potentials. (units in eV/atom)

	H potential	T potential <sup>(10)</sup>
graphite	4.572	7.351
diamond	5.045	7.371

표3은 H포텐셜과 T포텐셜을 사용하여 계산한  $C_2$ 와  $C_3$  클러스터의 결합길이 및 결합에너지 값을 실험치<sup>5, 20)</sup> 및 ab initio 계산치들<sup>1, 12, 14)</sup>과 함께 나타낸 것이다. H포텐셜을 사용하여 결정한 결합길이와 에너지값들은 실험치 및 ab initio 계산치들과 매우 잘 일치함을 알 수 있다. H포텐셜에 의한 계산 결과에 의하면, 직선형  $C_3$ 는 삼각형  $C_3$ 보다 에너지 관점에서 더 안정하며, 이것은 실험과 ab initio 계산에 근거한 다른 보고들과 일치하는 것이다.

한편, 일반적으로 T포텐셜을 사용하여 계산한 각 클러스터들의 결합길이와 결합에너지값들은 각각 H포텐셜을 사용하여 얻은 값들에 비해 결합길이는 더 크고 결합에너지값은 더 작은 경향을 보인다. T포텐셜에 의한 결합길이가 더 큰 것은 T포텐셜이 탄소의 bulk성질에 맞추어 개발되었으며, bulk 재료내에서의 탄소원자간의 결합길이가 탄소 클러스터들 내에서의 그것보다 일반적으로 더 크기 때문이다. 그리고 결합길이가 더 크면, 원자간의 인력이 더 약하므로 결합에너지는 당연히 더 작은 것이다. 또한, T포텐셜을 사용하여 계산한  $C_3$ 의 가장 안정한 형태는 이등변삼각형인데, 이 형태는 실제로 존재하기 어려운 것으로 알려져 있다.

표4는  $C_4$  클러스터의 결합길이, 결합각 및 결합에너지들을 보인 것이다. H포텐셜의 계산결과에 의하면 에너지값의 차이는 아주 미소하지만 직선형  $C_4$ 가 사방형  $C_4$ 보다 에너지 관점에서 더 안정하고, Y자형의  $C_4$  또는 이

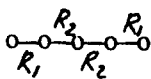
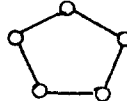
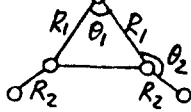
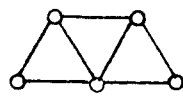
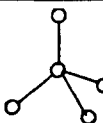
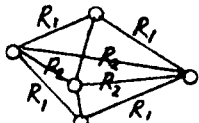
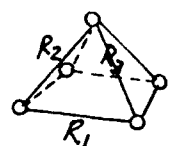
**Table 3.** The calculated geometries and binding energies of  $C_2$  and  $C_3$  clusters. R,  $\theta$  and E represent bond length in angstrom, bond angle in degree, and binding energy in eV, respectively.

	H potential	T potential	ab initio	experiment
	R = 1.308 E = 6.11	R = 1.447 E = 5.17		
	R = 1.304 E = 12.47	R = 1.497 E = 8.70	R = 1.278 E = 12.7 <sup>1)</sup> R = 1.29 <sup>12)</sup> R = 1.30 <sup>14)</sup>	E = 13.9 ± 0.2 <sup>6)</sup> E = 13.7 ± 0.2 <sup>20)</sup>
	R = 1.430 E = 12.45	R = 1.752 E = 5.35		
		R <sub>1</sub> =1.447 R <sub>2</sub> =2.564 E=10.33		

**Table 4.** The calculated geometries and binding energies of  $C_4$  clusters. R,  $\theta$  and E represent bond length in angstrom, bond angle in degree, and binding energy in eV, respectively.

$C_4$	H potential	T potential	ab initio	experiment
	R <sub>1</sub> = 1.303 R <sub>2</sub> = 1.299 E=18.86	R <sub>1</sub> = 1.496 R <sub>2</sub> = 1.550 E=12.31	R <sub>1</sub> = 1.31 R <sub>2</sub> = 1.28 <sup>12)</sup>	
	R = 1.469 $\theta = 66.0^\circ$ E=18.29	R = 1.600 $\theta=81.9^\circ$ E=12.41	R = 1.425, $\theta=61.5^\circ$ E=17.3 <sup>1)</sup> R = 1.449, $\theta=62.4^\circ$ <sup>17)</sup> R = 1.435, $\theta=61.9^\circ$ <sup>18)</sup> R = 1.50, $\theta=66.1^\circ$ <sup>14)</sup> R = 1.469, $\theta=63.9^\circ$ <sup>15)</sup>	19.0 ± 0.4 <sup>6)</sup> 19.4 ± 0.4 <sup>20)</sup>
	R <sub>1</sub> = 1.317 R <sub>2</sub> = 1.450 $\theta = 71.7^\circ$ E=18.55	R <sub>1</sub> = 1.454 R <sub>2</sub> = 1.454 $\theta=120^\circ$ E=15.14		
	R = 1.451 E=18.16	R = 1.584 E=12.37		
	R = 1.580 E=17.07	R = 1.837 E=6.58		
		R <sub>1</sub> = 1.45 R <sub>2</sub> = 2.56 R <sub>3</sub> = 3.59 E=15.50		

Table 5. The calculated geometries and binding energies of  $C_5$  clusters. R,  $\theta$  and E represent bond length in angstrom, bond angle in degree, and binding energy in eV, respectively.

$C_5$	H potential	T potential	ab initio	experiment
	R <sub>1</sub> = 1.303 R <sub>2</sub> = 1.299 E = 25.25	R <sub>1</sub> = 1.496 R <sub>2</sub> = 1.550 E = 15.93	R <sub>1</sub> = 1.271, R <sub>2</sub> = 1.275 E = 23.9 <sup>1)</sup> R <sub>1</sub> = 1.277, R <sub>2</sub> = 1.280 <sup>18)</sup> R <sub>1</sub> = 1.29, R <sub>2</sub> = 1.28 <sup>12)</sup>	$26.5 \pm 0.4^{20)}$ $26.7 \pm 0.4^{20)}$
	R = 1.431 E = 24.84	R = 1.499 E = 21.52	R = 1.396 <sup>13)</sup>	
	R <sub>1</sub> = 1.42 R <sub>2</sub> = 1.317 $\theta_1 = 62.3^\circ$ $\theta_2 = 150.2^\circ$ E = 24.62	R <sub>1</sub> = 1.481 R <sub>2</sub> = 1.477 $\theta_1 = 120.6^\circ$ $\theta_2 = 149.9^\circ$ E = 18.49	R <sub>1</sub> = 1.463 R <sub>2</sub> = 1.300 $\theta_1 = 58.5$ $\theta_2 = 142.0^\circ$ <sup>13)</sup>	
	R = 1.411 E = 18.06	R = 1.692 E = 10.32		
	R = 1.618 E = 21.24	R = 1.725 E = 17.55	R = 1.521 <sup>13)</sup>	
	R <sub>1</sub> = 1.587 R <sub>2</sub> = 1.951 E = 22.00	R <sub>1</sub> = 1.705 R <sub>2</sub> = 2.096 E = 13.54	R <sub>1</sub> = 1.492 R <sub>2</sub> = 2.115 <sup>13)</sup>	
	R <sub>1</sub> = 1.579 R <sub>2</sub> = 1.686 R <sub>3</sub> = 1.715 E = 22.09	R <sub>1</sub> = 1.966 R <sub>2</sub> = 1.764 R <sub>3</sub> = 1.764 E = 10.80	R <sub>1</sub> = 1.468 R <sub>2</sub> = 1.503 R <sub>3</sub> = 1.628 <sup>13)</sup>	

두 형태의  $C_4$ 와 거의 같은 에너지 값을 가짐을 알 수 있다. 한편, T포텐셜을 사용하여 계산한  $C_4$ 의 가장 안정된 형태는 사다리꼴이다.

최근 보고된 ab initio 계산결과에 의하면<sup>15-17)</sup>, 사방형  $C_4$ 와 직선형  $C_4$ 의 에너지 값은 서로 극히 비슷하다고 한다. 그러나  $C_4$ 가 형성되는 흑연 증기내에는 사방형  $C_4$ 가 훨씬 더 많이

존재한다고 한다<sup>16)</sup>. 한편, Y字형태의  $C_4$ 의 구조나 에너지에 관해서는 지금까지 보고된 바가 전혀 없다.

표5는 본 시뮬레이션에서 계산한  $C_5$ 의 구조와 에너지값들이다. H포텐셜을 사용하여 얻은 결과에 의하면,  $C_5$ 의 가장 안정된 형태는 직선형이며, 이것은 다른 보고들<sup>1), 12), 18), 20)</sup>과

일치하는 것이다. 반면, T포텐셜의 계산결과들에 의하면, C<sub>5</sub>의 최저에너지 구조는 5각형이다.

#### 4. 결 론

본 연구에서는 T포텐셜과 H포텐셜을 사용하여 statics(에너지 최소화) 테크닉을 기초로 한 시뮬레이션을 수행함으로써 C<sub>2</sub>–C<sub>5</sub> 클러스터들의 구조와 에너지값들을 구하였다. T포텐셜은 bulk탄소계의 성질은 잘 묘사하는 반면, 작은 클러스터 영역에서는 잘 들어맞지 않는 것으로 나타났다. 일반적으로 T포텐셜에 의하여 계산된 작은 클러스터들의 결합길이들은 실험치나 ab initio 계산치 보다 더 큰 반면, 에너지값들은 그것들 보다 더 작은 경향을 보였다. 한편, H포텐셜로는 bulk 다이아몬드와 흑연의 에너지값에 관해서는 만족스런 결과를 얻을 수 없었지만, 실험과 ab initio 계산에 의하여 얻어진 C<sub>2</sub>–C<sub>5</sub>의 구조 및 에너지값들을 잘 재현할 수 있었다.

본 연구에서의 계산결과들을 요약하면, C<sub>2</sub>–C<sub>5</sub>의 가장 안정된 구조는 직선형이라 할 수 있다. 그 외에 사방형 C<sub>4</sub>의 에너지뿐만 아니라, Y자형태의 C<sub>4</sub>의 에너지도 직선형 C<sub>4</sub>의 에너지와 매우 비슷한 값을 가짐을 발견하였다.

#### 후 기

본 논문의 출판은 RETCAM을 통한 과학재단의 재정지원으로 이루어졌으므로 이에 감사를 드립니다.

#### 참 고 문 헌

- 1) A. K. Ray, J. Phys(B) **19**, 1253(1986)
- 2) K. Raghavachari and J. S. Binkley, J. Chem. Phys. **87**, 2191(1987)
- 3) S. Morrie and A. A. Wyler, Astrophys. J. **150**, 877(1967)
- 4) T. Tsyji, Annu. Tokyo Astr. Obs. **9**, 1 (1964)
- 5) H. W. Kroto, Chem. Soc. Rev. **1**, 435 (1982)
- 6) J. Drowthart, R. P. Burns, G. DocMaria, and M. G. Inghram, J. Chem. Phys. **31**, 1131 (1959)
- 7) J. Berkowitz and W. A. Chupka, J. Chem. Phys. **40**, 2735(1964)
- 8) P. D. Zavitsanos, Carbon **6**, 731(1968)
- 9) H. Boiteux, Flame Spectroscopy(Wiley, New York), (1965)
- 10) J. Tersoff, Solid State Physics(1988)
- 11) To be published
- 12) D. W. Ewing and G. V. Pfeiffer, Chem. Phys. Lett. **86**, 365(1982)
- 13) D. W. Ewing and G. V. Pfeiffer, in Physics and Chemistry of Small Cluster, edited by P. Jena, B. K. Rao, and S. N. Khanna (Plenum, New York) 67(1987)
- 14) B. K. Rao, S. N. Khanna, and P. Jena, Sol. State Comm., **58**, 53(1986)
- 15) D. H. Mager, R. J. Harrison and R. J. Bartlett, J. Chem. Phys. **84**, 3284(1986)
- 16) D. H. Mager, R. J. Harrison and R. J. Bartlett, J. Chem. Phys. **85**, 5175(1986)
- 18) L. S. Ott and A. K. Ray, in Physics and Chemistry of Small Cluster, edited by P. Jena, B. K. Rao, and S. N. Khanna(Plenum, New York) 95(1987)
- 19) K. P. Huber and G. Herzberg, "Constants of Diatomic Molecules"(van Nostrand Reinhold, New York), (1979)
- 20) D. R. Stull and H. Prophet, Natl. Stand. Ref. Data Scr. Natl. Bur. Stand. **37**, (1971)